
Описание изображений



Описание

Дескрипторы



Простые дескрипторы

- Длина
- Диаметр

$$Diam(B) = \max_{i,j} [D(p_i, p_j)]$$

- Эксцентриситет
- Кривизна



Нумерация фигур

Номер фигуры - минимальное числовое представление разности кода границы

Порядок n номера фигуры - число цифр в его записи

Порядок 4

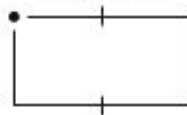


Цепной код: 0 3 2 1

Разность первого порядка: 3 3 3 3

Номер фигуры: 3 3 3 3

Порядок 6

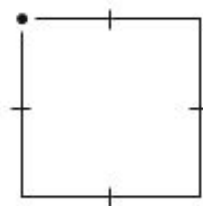


0 0 3 2 2 1

3 0 3 3 0 3

0 3 3 0 3 3

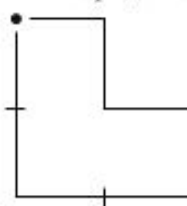
Порядок 8



Цепной код: 0 0 3 3 2 2 1 1

Разность первого порядка: 3 0 3 0 3 0 3 0

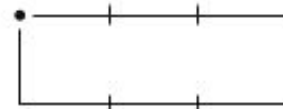
Номер фигуры: 0 3 0 3 0 3 0 3



0 3 0 3 2 2 1 1

3 3 1 3 3 0 3 0

0 3 0 3 3 1 3 3



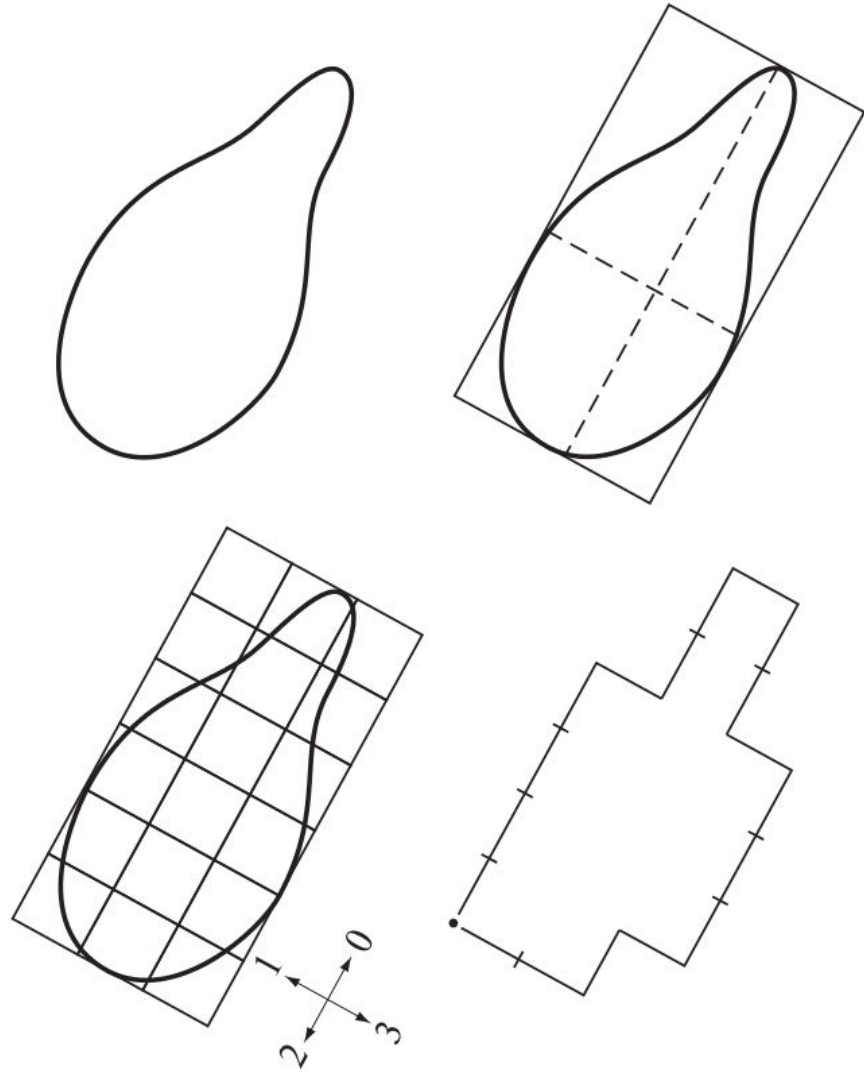
0 0 0 3 2 2 2 1

3 0 0 3 3 0 0 3

0 0 3 3 0 0 3 3

Пример

$n = 18$

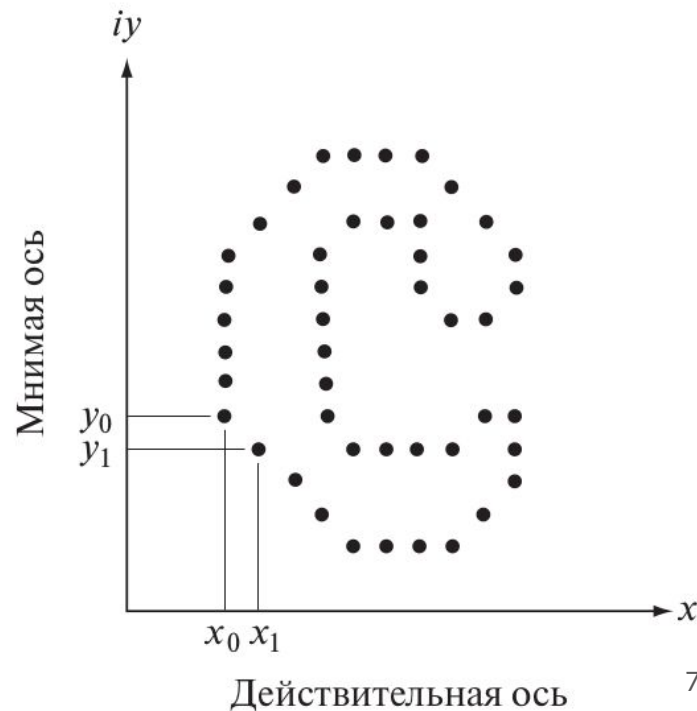


Фурье-дескрипторы

$$s(k) = [x(k), y(k)]$$

$$s(k) = x(k) + iy(k)$$

$$a(u) = \sum_{k=0}^{K-1} s(k) e^{-i2\pi ku/K}$$



$$s(k) = \frac{1}{K} \sum_{u=0}^{K-1} a(u) e^{i2\pi ku/K}$$

$$\hat{s}(k) = \frac{1}{K} \sum_{u=0}^{P/2-1} a(u) e^{i2\pi ku/K} + a(u) e^{i2\pi k(u+\frac{K}{2})/K}$$

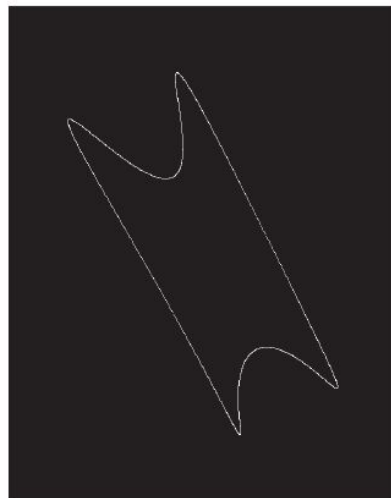
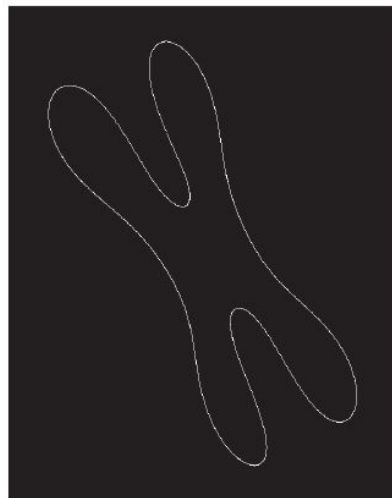
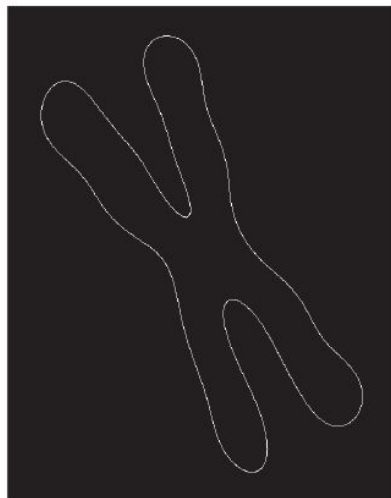
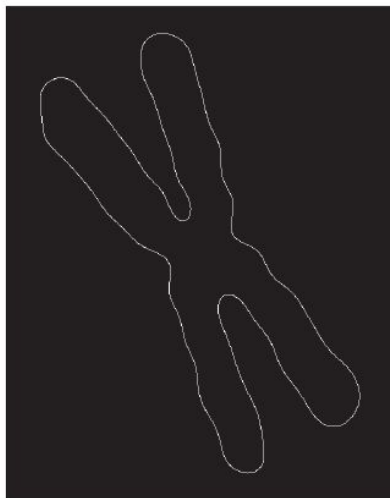
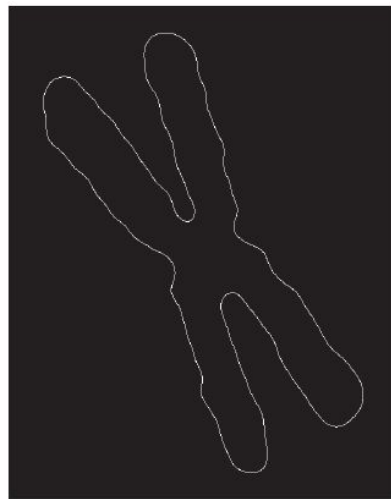
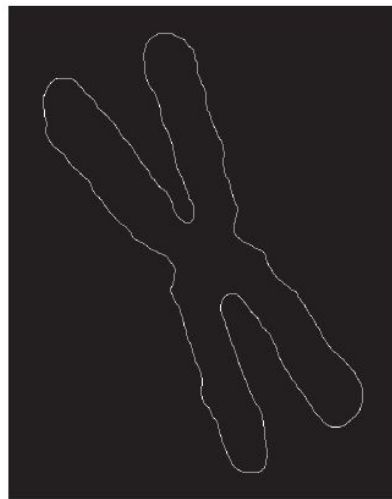
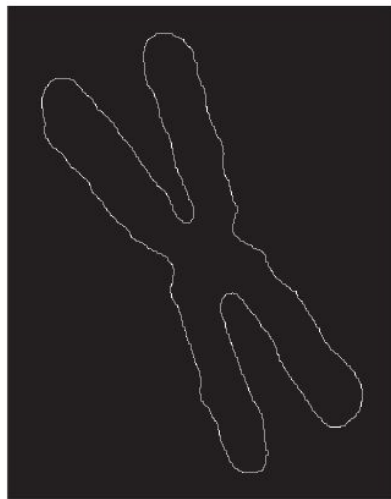
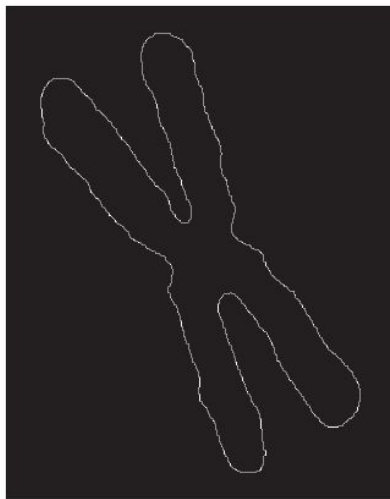
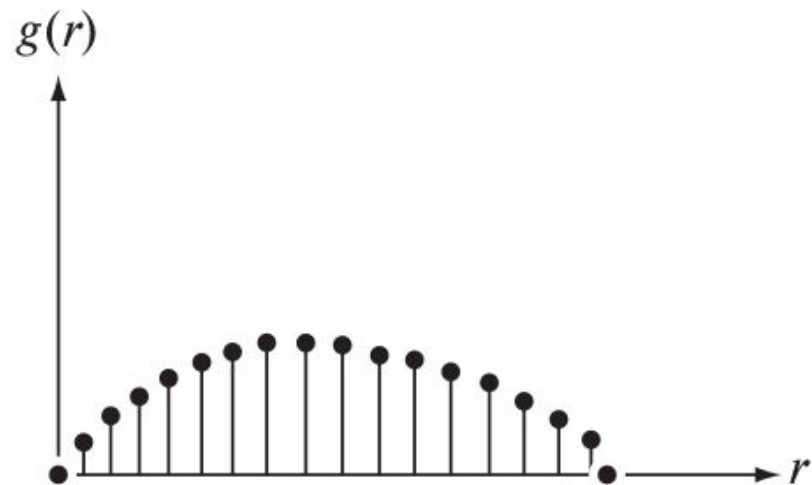


Таблица 11.1. Основные свойства дескрипторов Фурье

| Преобразование | Граница | Фурье-дескрипторы |
|-----------------------|-------------------------------|--|
| Тождественное | $s(k)$ | $a(u)$ |
| Поворот | $s_r(k) = s(k)e^{i\theta}$ | $a_r(u) = a(u)e^{i\theta}$ |
| Параллельный перенос | $s_t(k) = s(k) + \Delta_{xy}$ | $a_t(u) = a(u) + \Delta_{xy}\delta(u)$ |
| Изменение масштаба | $s_s(k) = \alpha s(k)$ | $a_s(u) = \alpha a(u)$ |
| Смена начальной точки | $s_p(k) = s(k - k_0)$ | $a_p(u) = a(u)e^{-i2\pi k_0 u/K}$ |

Статистические характеристики



$$\mu_n(\nu) = \sum_{i=0}^{A-1} (\nu_i - m)^n p(\nu_i)$$

$$m = \sum_{i=0}^{A-1} \nu_i p(\nu_i)$$

μ_2 - дисперсия ν_i

$$\mu_n(r) = \sum_{i=0}^{K-1} (r_i - m)^n g(r_i)$$

$$m = \sum_{i=0}^{K-1} r_i g(r_i)$$

μ_2 - разброс от-но ср.
значения r

μ_3 - симмет-ть кривой
от-но ср.значения r



Анализ

- Простота
- “Физическая” интерпретация формы
границы
- Инвариантность к повороту
- Легкость масштабирования

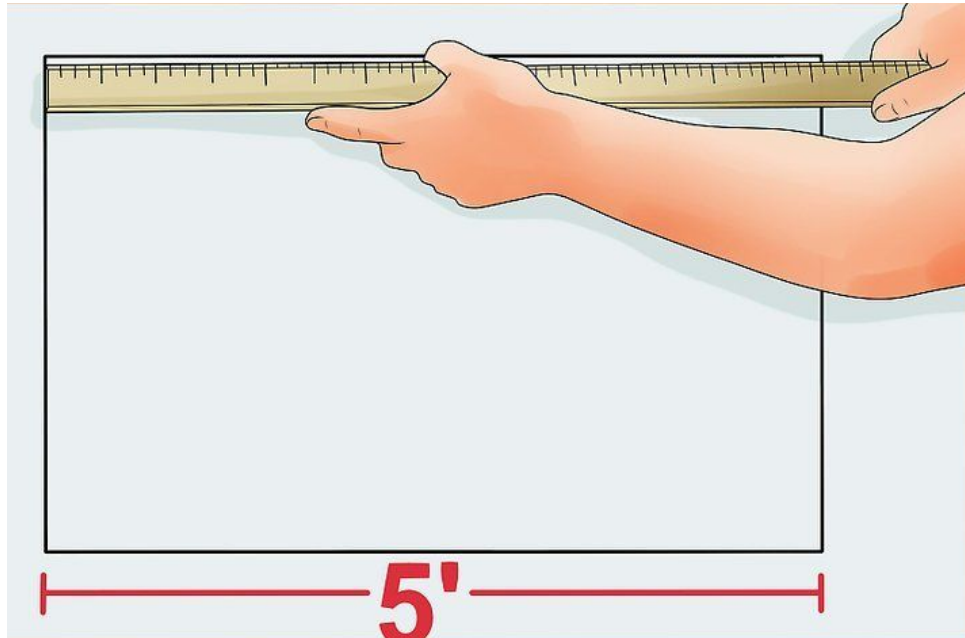
Дескрипторы областей



Простые дескрипторы

- Площадь
- Периметр
- Компактность области
- Коэффициент округлости
- Яркостные характеристики

Площадь, периметр





Компактность области

$$\frac{P^2}{S}$$

Коэффициент округлости

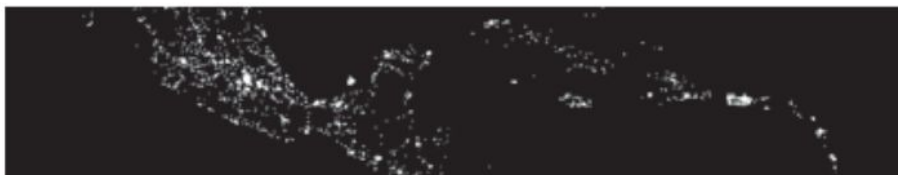
$$\frac{S}{S_c}$$

S_c - площадь круга с периметром P

$$R_c = \frac{4\pi S}{P^2}$$

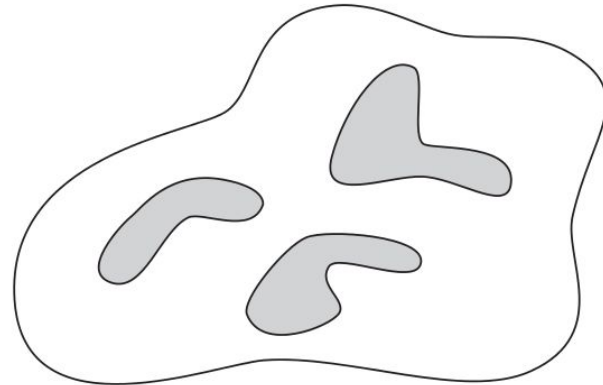
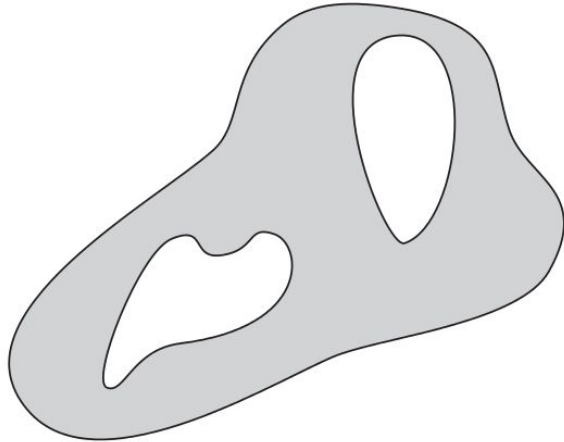


| Номер региона (сверху вниз) | Доля освещенной площади от всей освещенной площади |
|--------------------------------|--|
| 1 | 0,204 |
| 2 | 0,640 |
| 3 | 0,049 |
| 4 | 0,107 |



Топологические дескрипторы

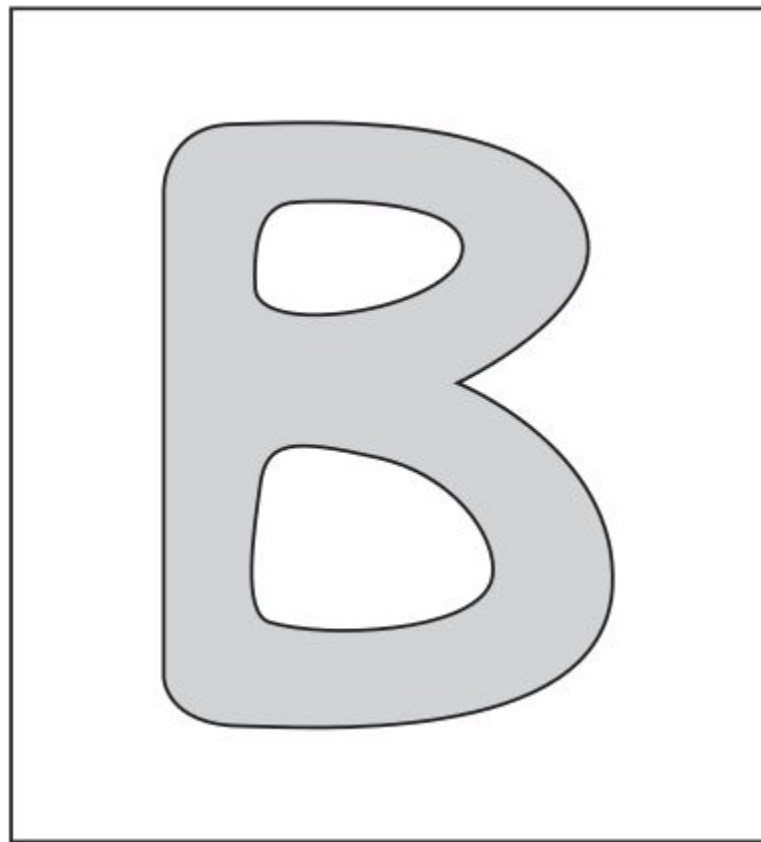
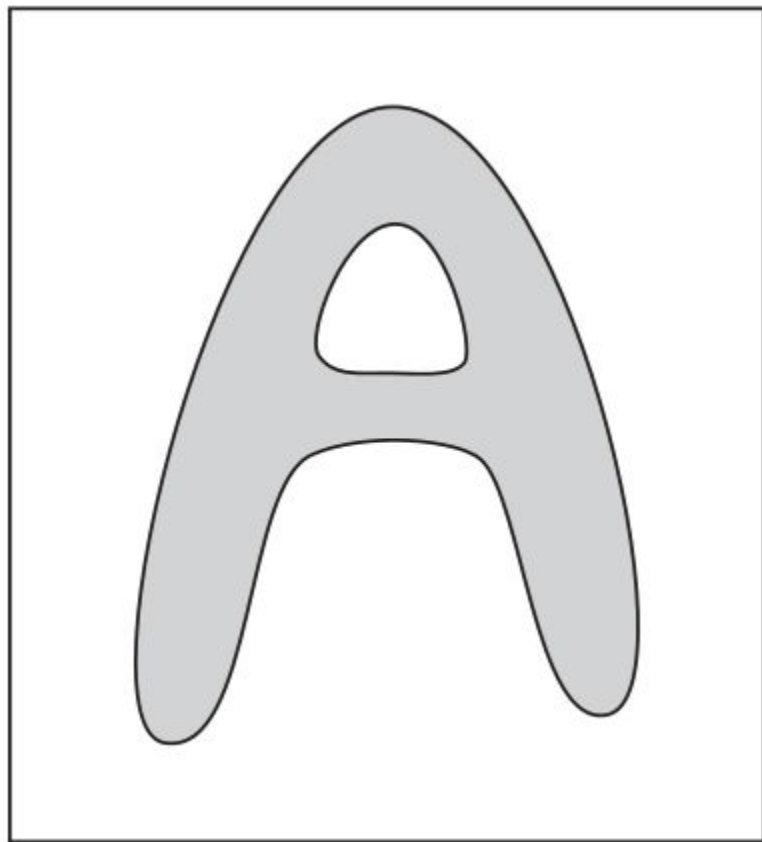
Топология изучает свойства фигур, на которые не влияют любые их непрерывные деформации





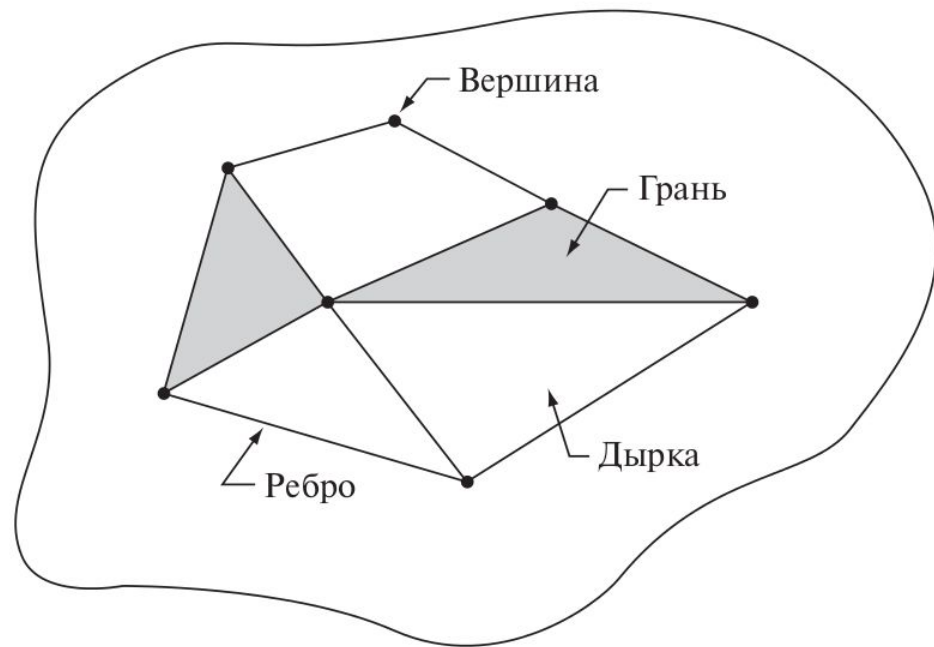
Топологические свойства

- Число связных областей **C**
- Число дырок **H**
- Число Эйлера **$E = C - H$**

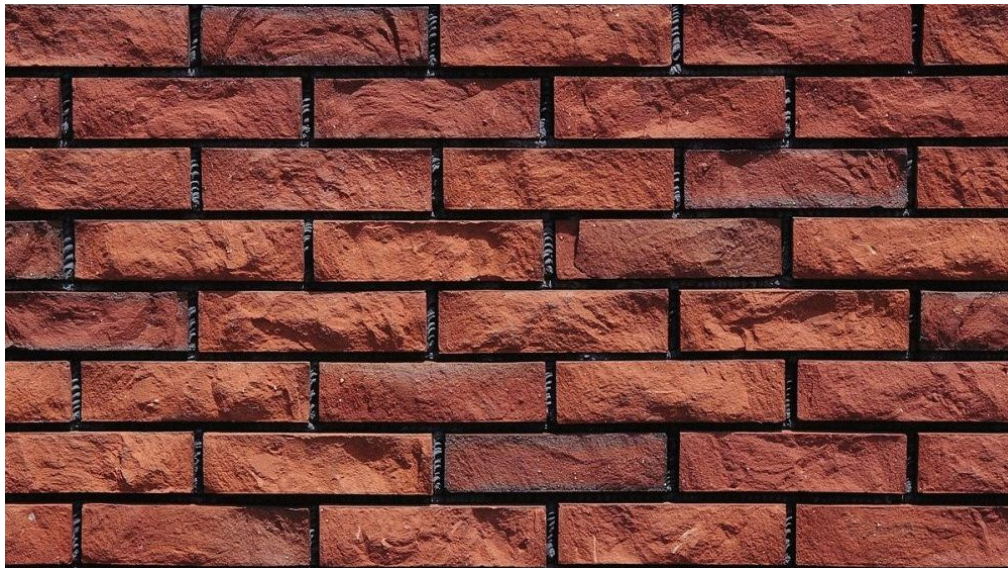


Формула Эйлера

$$V - Q + F = C - H$$



Текстурные дескрипторы





Описание структуры

- Статистический подход
- Структурный подход
- Спектральный подход



Спектральный подход

Полезные свойства:

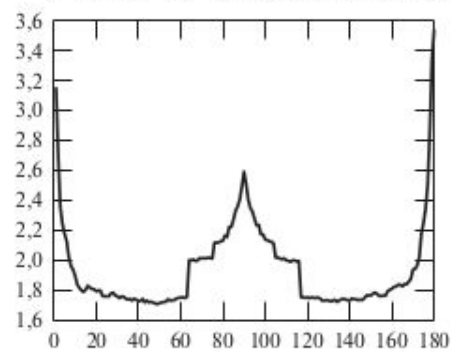
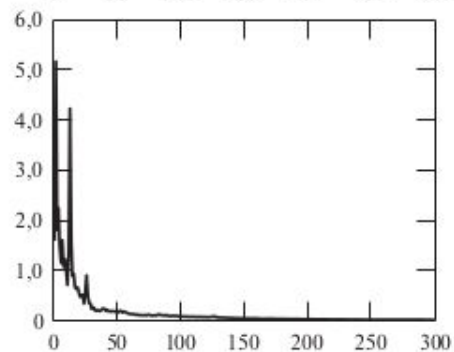
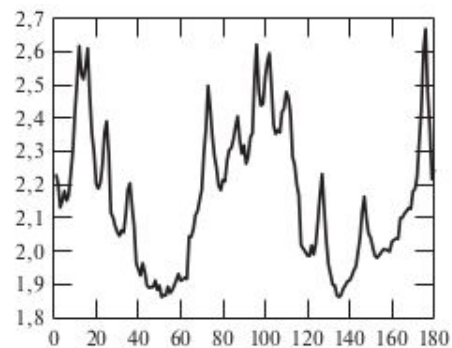
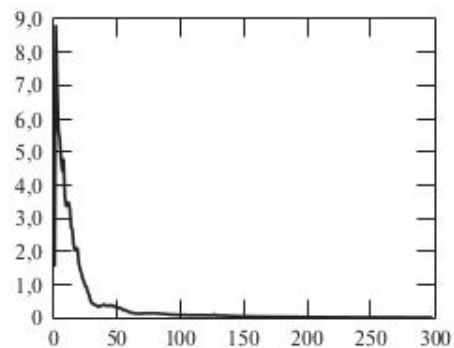
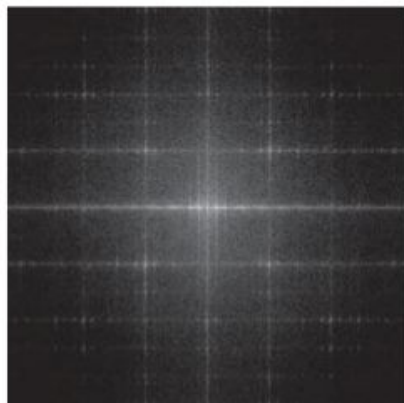
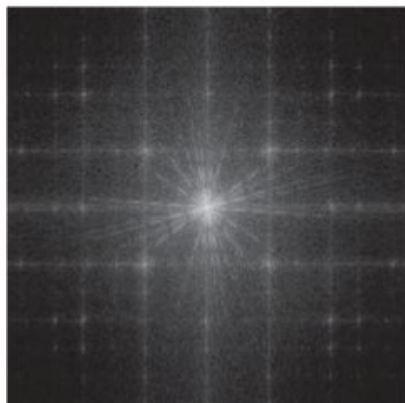
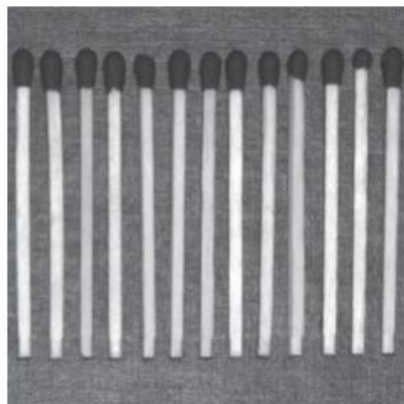
1. Угловая координата выступающего пика спектра (в полярном представлении) указывает направление соответствующей текстурной составляющей
2. Местоположение пиков на частотной плоскости даёт основной пространственный период структуры
3. После устранения периодических составляющих остаются только непериодические компоненты.



Спектральный подход

$$S(r) = \sum_{\theta=0}^{\pi} S_{\theta}(r)$$

$$S(\theta) = \sum_{r=0}^{R_0} S_r(\theta)$$



Инварианты моментов двумерных функций

$$m_{pq} = \sum_{x=0}^{M-1} \sum_{y=0}^{N-1} x^p y^q f(x, y)$$

$$\mu_{pq} = \sum_{x=0}^{M-1} \sum_{y=0}^{N-1} (x - \bar{x})^p (y - \bar{y})^q f(x, y)$$

$$\phi_1 = \eta_{20} + \eta_{02}$$

$$\phi_2 = (\eta_{20} - \eta_{02})^2 + 4\eta_{11}^2$$

$$\phi_3 = (\eta_{30} - 3\eta_{12})^2 + (\eta_{03} - 3\eta_{21})^2$$

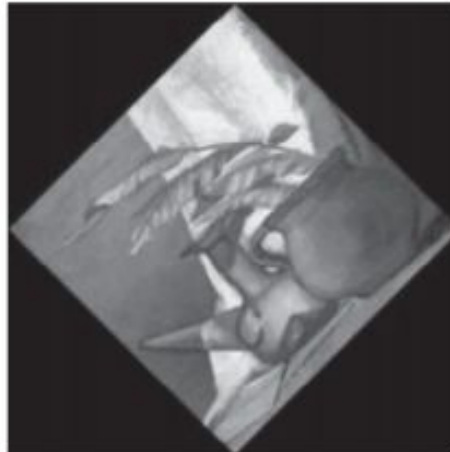
$$\phi_4 = (\eta_{30} + \eta_{12})^2 + (\eta_{21} + \eta_{03})^2$$

$$\begin{aligned} \phi_5 = & (\eta_{30} - 3\eta_{12})(\eta_{30} + \eta_{12})[(\eta_{30} + \eta_{12})^2 - 3(\eta_{21} + \eta_{03})^2] + \\ & + (3\eta_{21} - \eta_{03})(\eta_{21} + \eta_{03})[3(\eta_{30} + \eta_{12})^2 - (\eta_{21} + \eta_{03})^2] \end{aligned}$$

$$\phi_6 = (\eta_{20} - \eta_{02})[(\eta_{30} + \eta_{12})^2 - (\eta_{21} + \eta_{03})^2] + 4\eta_{11}(\eta_{30} + \eta_{12})(\eta_{21} + \eta_{03})$$

$$\begin{aligned} \phi_7 = & (3\eta_{21} - \eta_{03})(\eta_{12} + \eta_{30})[(\eta_{30} + \eta_{12})^2 - 3(\eta_{21} + \eta_{03})^2] + \\ & + (3\eta_{12} - \eta_{30})(\eta_{21} + \eta_{03})[3(\eta_{30} + \eta_{12})^2 - (\eta_{21} + \eta_{03})^2] \end{aligned}$$

Пример



| Инвари- ант | Исходное изображение | Сдвиг | Половинный размер | Зеркальное отражение | Поворот на 45° | Поворот на 90° |
|----------------|-------------------------|----------|----------------------|-------------------------|-------------------|-------------------|
| ϕ_1 | 2,8662 | 2,8662 | 2,8664 | 2,8662 | 2,8661 | 2,8662 |
| ϕ_2 | 7,1265 | 7,1265 | 7,1257 | 7,1265 | 7,1266 | 7,1265 |
| ϕ_3 | 10,4109 | 10,4109 | 10,4047 | 10,4109 | 10,4115 | 10,4109 |
| ϕ_4 | 10,3742 | 10,3742 | 10,3719 | 10,3742 | 10,3742 | 10,3742 |
| ϕ_5 | 21,3674 | 21,3674 | 21,3924 | 21,3674 | 21,3663 | 21,3674 |
| ϕ_6 | 13,9417 | 13,9417 | 13,9383 | 13,9417 | 13,9417 | 13,9417 |
| ϕ_7 | -20,7809 | -20,7809 | -20,7724 | 20,7809 | -20,7813 | -20,7809 |



Использование главных компонент

Вектор математического ожидания для генеральной совокупности

$$\mathbf{m}_x = E\{\mathbf{x}\}$$

Ковариационная матрица

$$\mathbf{C}_x = E\{(\mathbf{x} - \mathbf{m}_x)(\mathbf{x} - \mathbf{m}_x)^T\}$$



Использование главных компонент

Приближенная оценка вектора математического ожидания

$$\mathbf{m}_x = \frac{1}{K} \sum_{k=1}^K \mathbf{x}_k$$

Ковариационная матрица

$$\mathbf{C}_x = \frac{1}{K} \sum_{k=1}^K \mathbf{x}_k \mathbf{x}_k^T - \mathbf{m}_x \mathbf{m}_x^T$$



Пример

$$\mathbf{x}_1 = (0, 0, 0)^T$$

$$\mathbf{x}_2 = (1, 0, 0)^T$$

$$\mathbf{x}_3 = (1, 1, 0)^T$$

$$\mathbf{x}_4 = (1, 0, 1)^T$$



Пример

$$\mathbf{m}_x = \frac{1}{4} \begin{bmatrix} 3 \\ 1 \\ 1 \end{bmatrix}$$

$$\mathbf{C}_x = \frac{1}{16} \begin{bmatrix} 3 & 1 & 1 \\ 1 & 3 & -1 \\ 1 & -1 & 3 \end{bmatrix}$$



Преобразование Карунена-Лозва

$$\mathbf{y} = \mathbf{A}(\mathbf{x} - \mathbf{m}_{\mathbf{x}})$$

$$\mathbf{m}_{\mathbf{y}} = 0$$

$$\mathbf{C}_{\mathbf{y}} = \mathbf{A}\mathbf{C}_{\mathbf{x}}\mathbf{A}^T$$



Преобразование Карунена-Лозва

$$\mathbf{x} = \mathbf{A}^T \mathbf{y} + \mathbf{m}_x$$

$$\hat{\mathbf{x}} = \mathbf{A}_k^T \mathbf{y} + \mathbf{m}_x$$

$$e_{ms} = \sum_{j=1}^n \lambda_j - \sum_{j=1}^k \lambda_j = \sum_{j=k+1}^n \lambda_j$$

Пример

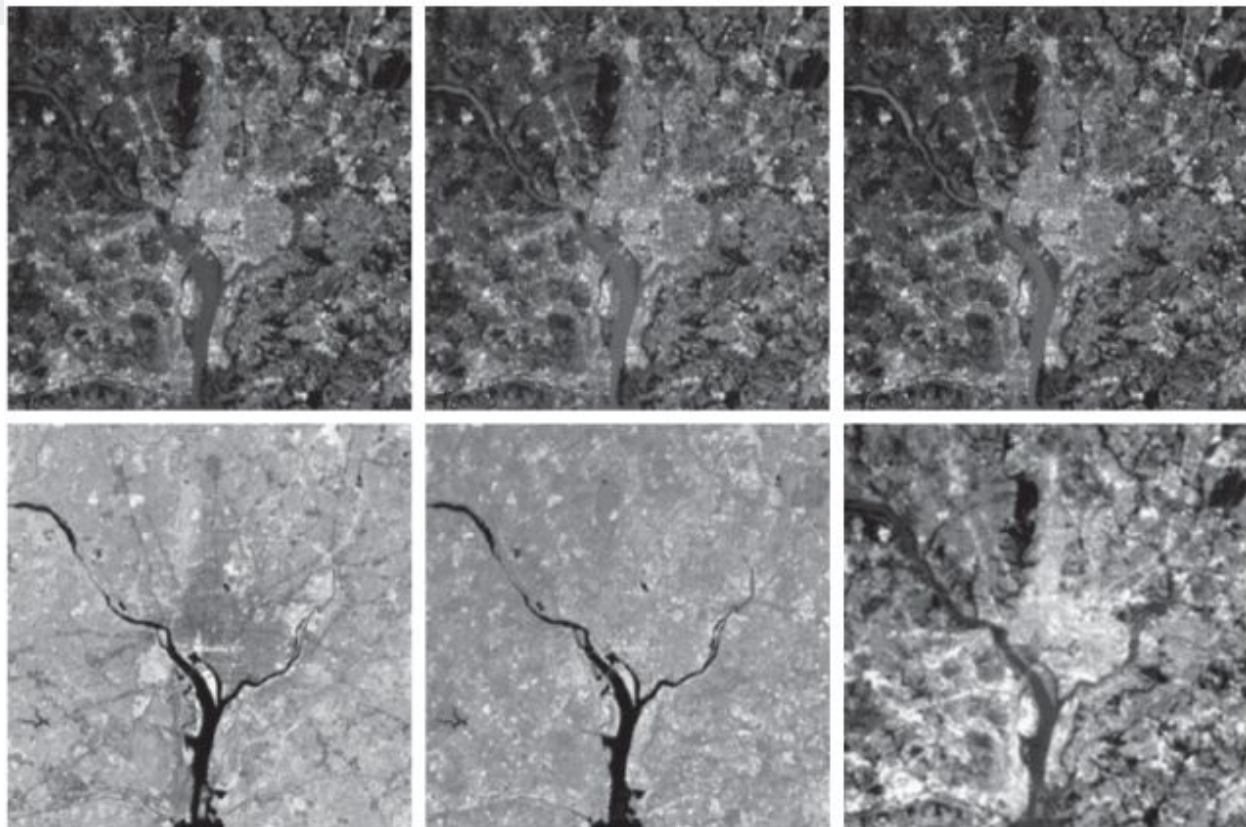
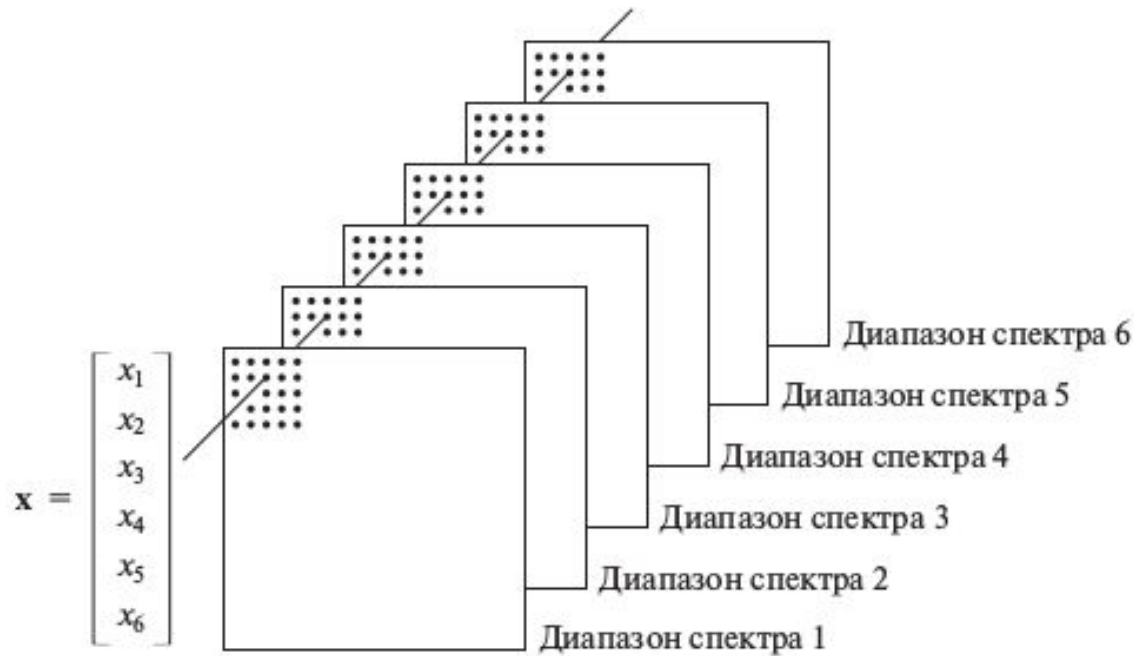
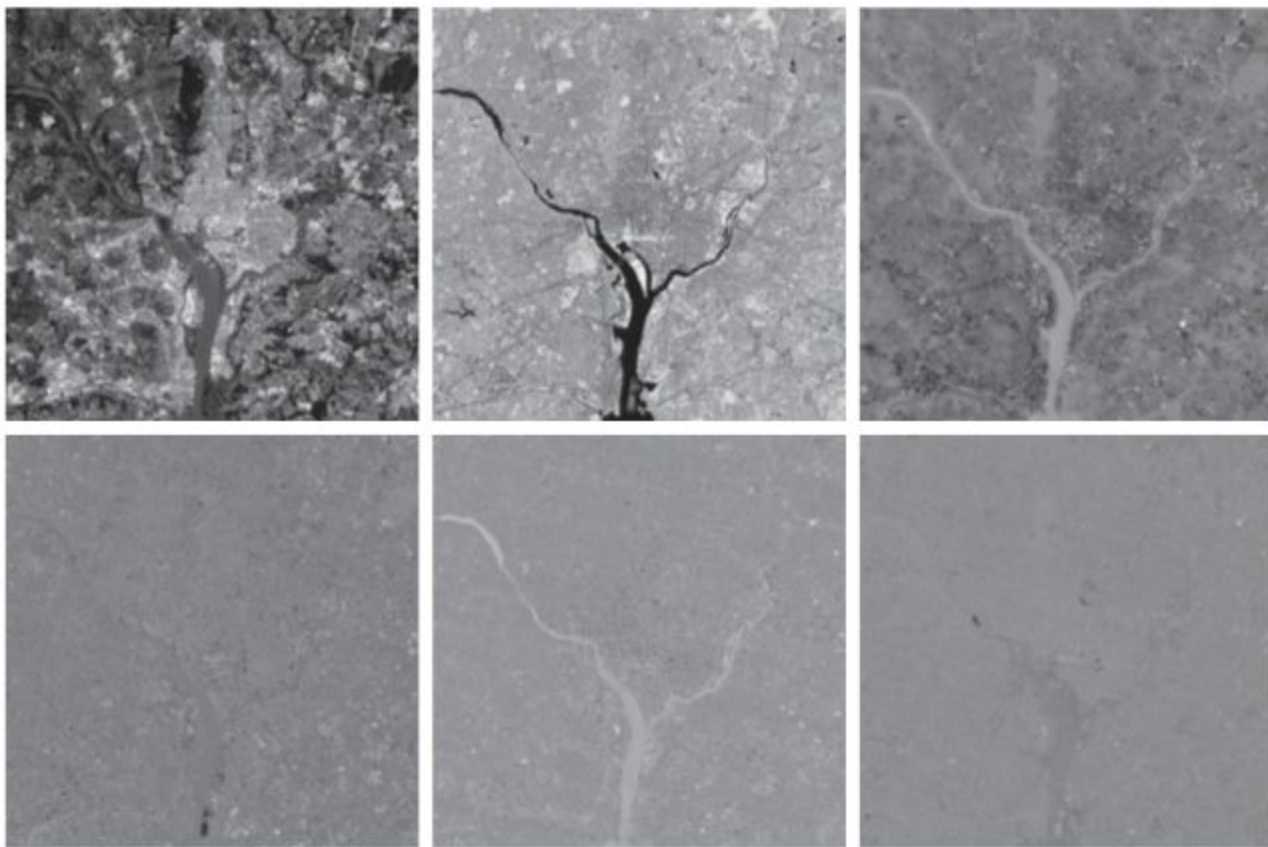


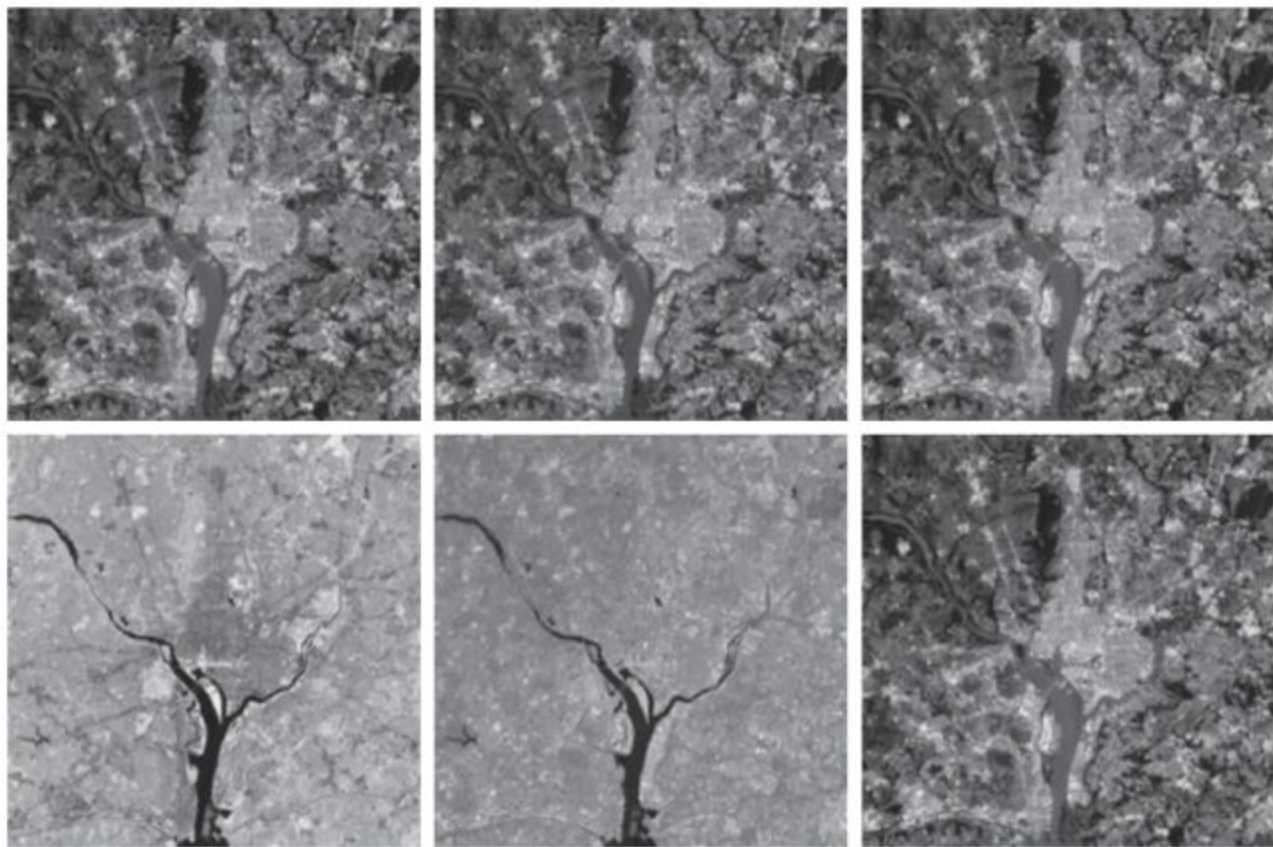
Рис. 11.38. Компоненты мультиспектрального изображения в (а) видимом синем, (б) видимом зеленом, (в) видимом красном, (г) ближнем инфракрасном, (д) среднем инфракрасном и (е) тепловом инфракрасном диапазонах. (Изображения предоставлены агентством NASA)

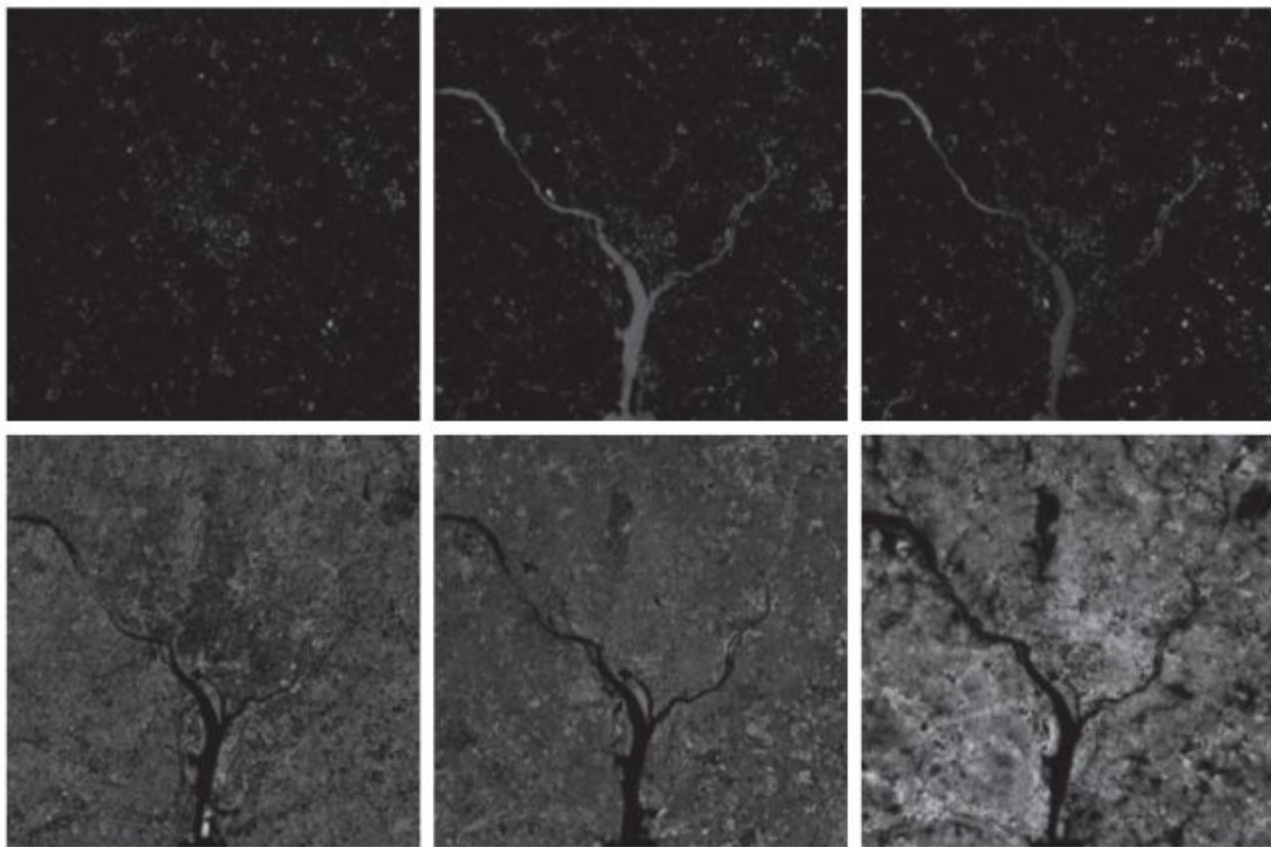
Пример



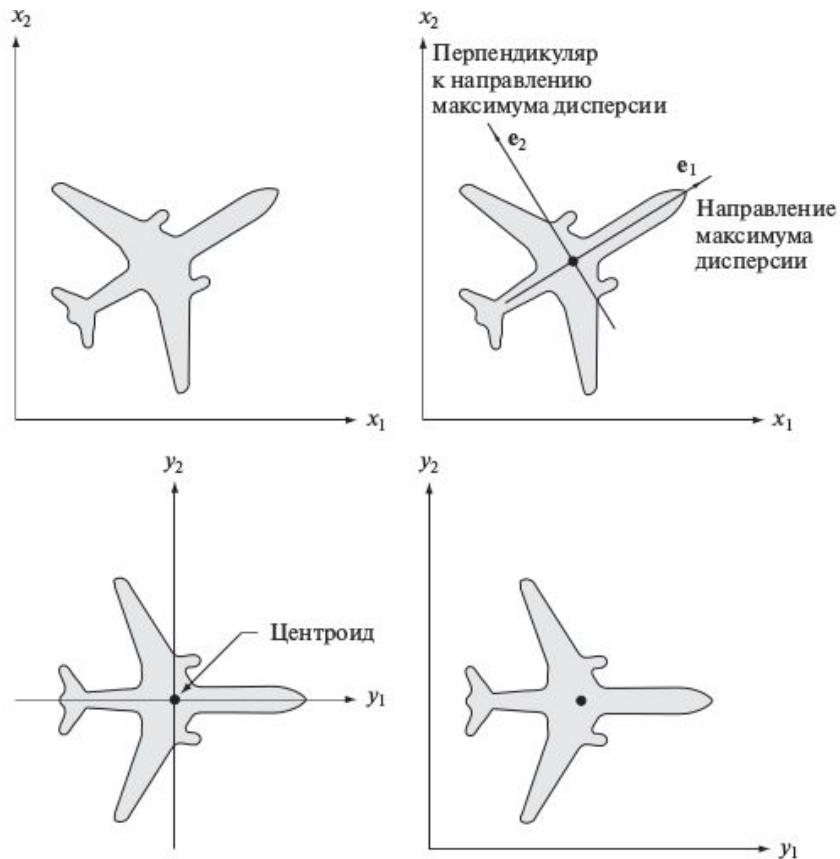
| λ_1 | λ_2 | λ_3 | λ_4 | λ_5 | λ_6 |
|-------------|-------------|-------------|-------------|-------------|-------------|
| 10344 | 2966 | 1401 | 203 | 94 | 31 |



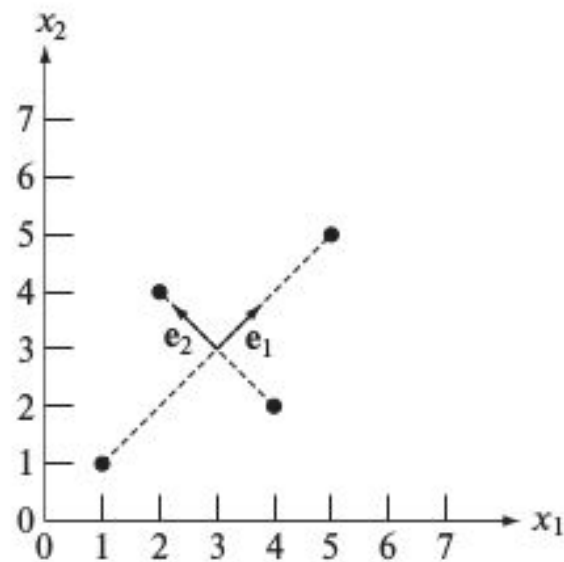
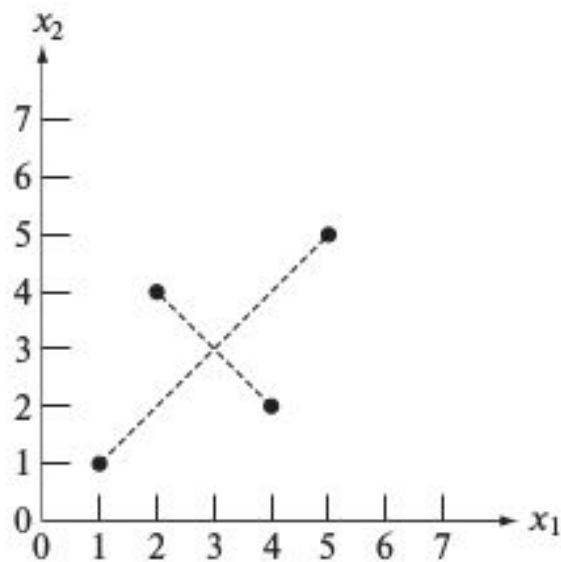




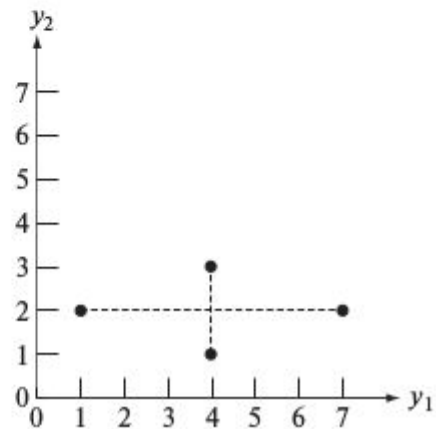
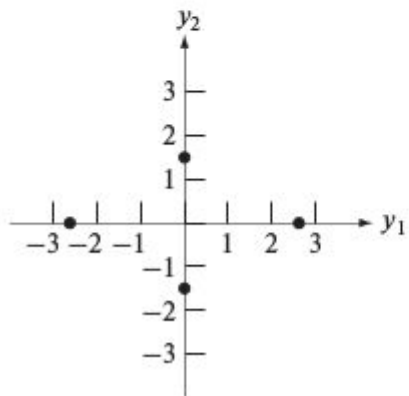
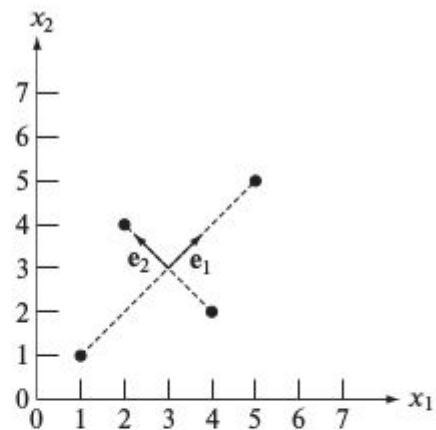
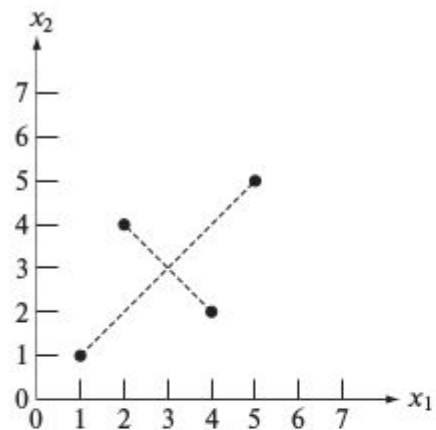
Пример



Пример



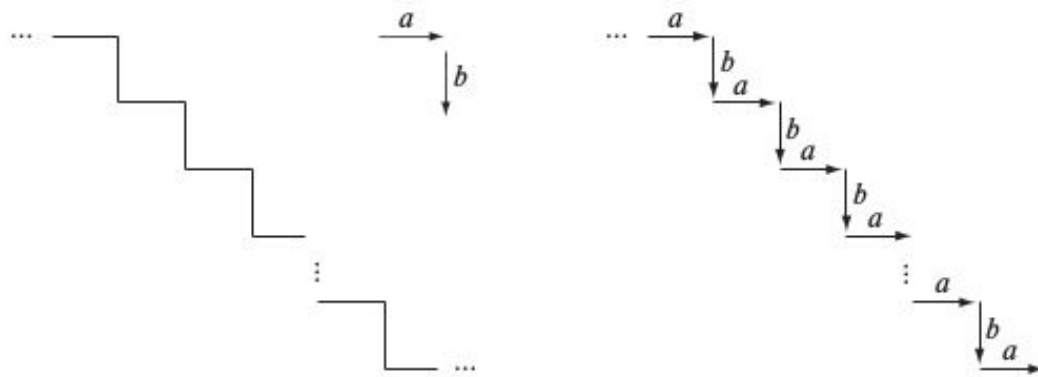
Пример



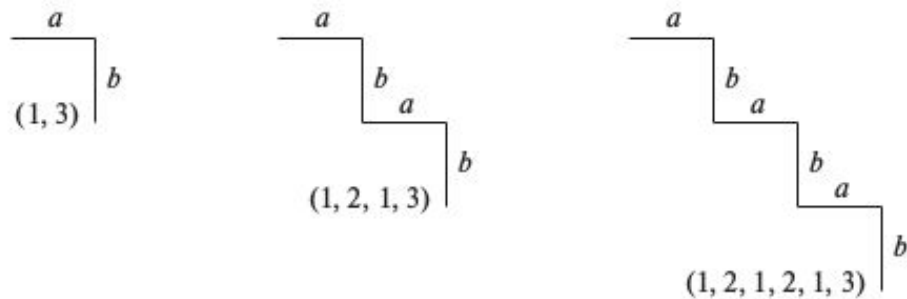


Реляционные дескрипторы

Цель: зафиксировать в форме правил подстановки элементарные конфигурации, которые повторяются на границе или внутри области



Простая ступенчатая структура. Структура в закодированном виде



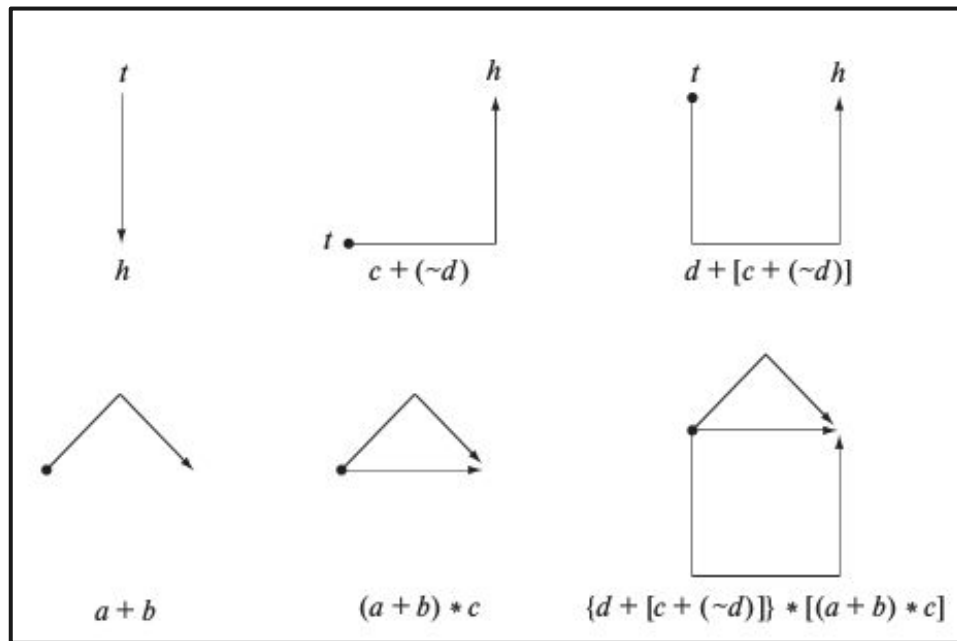
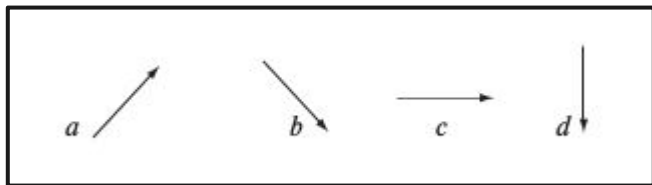
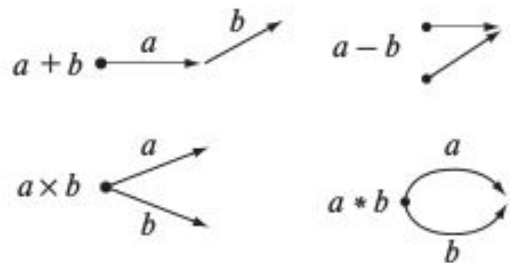
Примеры порождения для системы правил $S \rightarrow aA$, $A \rightarrow bS$ и $A \rightarrow b$

Отслеживание контура объекта

С кодированием результата отрезками заданного направления и/или длины



Направленные отрезки



Деревья

